

02; 05.2; 07

© 1991

ВЛИЯНИЕ ХРОМА НА ЛЮМИНЕСЦЕНЦИЮ ЕВРОПИЯ В ОРТОБОРАТАХ ИТТРИЯ И ИНДИЯ

В.П. Доценко, З.Н. Герасимович,
 Б.П. Парadowsкий, И.В. Бerezovskaya,
 С.В. Ермакова

Люминесцентные материалы на основе активированных европием ортоборатов используются в газоразрядных индикаторных панелях и различных электроннолучевых трубках (ЭЛТ). Несомненный практический интерес представляют также ортобораты элементов III группы, активированные хромом (G^{3+}). Спектрально-люминесцентные свойства последних описаны в [1, 2]. Изучение двукратноактивированных систем показало, что зависимости энергетического выхода γ катодолюминесценции твердых растворов $M_{0.98-x}Eu_{0.02}Cr_xBO_3$, где $M = Y, In$, от содержания хрома существенно отличаются. Так введение хрома в количествах $x = 10^{-4}$ мол. дол. приводит к уменьшению γ свечения $YBO_3 : Eu^{3+}$ почти в 2 раза, тогда как для $InBO_3 : Eu^{3+}, G^{3+}$ процесс тушения люминесценции выражен значительно слабее, а в области содержания соактиватора $10^{-5}-10^{-4}$ мол. дол. даже наблюдается повышение энергетического выхода катодолюминесценции на 3–12 %. Цель настоящей работы заключалась в выяснении причин этого различия.

На рис. 1 представлены спектрально-люминесцентные характеристики активированных хромом ортоборатов иттрия и индия, полученные на спектрометрах СДЛ-1 и LAMBDA 9. В спектрах возбуждения люминесценции и диффузного отражения наблюдаются две широкие полосы, обусловленные переходами с основного 4A_2 на 4T_1 и 4T_2 уровни в ионе хрома. В соответствии с диаграммой Танабе–Сугано для ионов $3d$ -конфигурации положение максимума для перехода $^4A_2 \rightarrow ^4T_2$ соответствует значению параметра кристаллического поля $10Dq$. Ионы хрома в $InBO_3$ занимают положения с малой силой кристаллического поля $Dq = 1530 \text{ см}^{-1}$, что обуславливает широкополосную люминесценцию в области 700–1100 нм. Люминесценция G^{3+} в ортоборате иттрия в интервале $T=80-300$ К нами не обнаружена, однако волновое число максимума полосы люминесценции может быть оценено на основании спектров диффузного отражения с помощью соотношения, предложенного Стреком [3].

$$\gamma_{max} = 11000 \text{ см}^{-1} + 0.35 \cdot (10Dq - 11000 \text{ см}^{-1}). \quad (1)$$

Такая оценка дает $\lambda_{max} \sim 900$ нм.

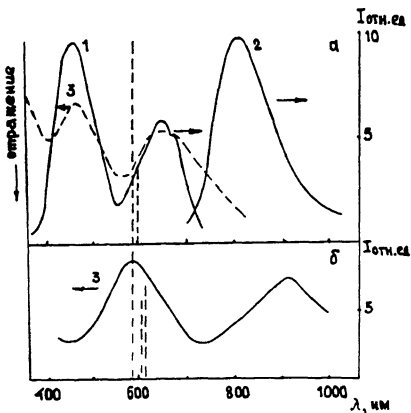


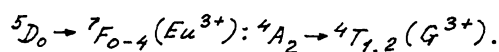
Рис. 1. Спектры возбуждения (1), люминесценции (2) и диффузного отражения (3) $JnBO_3 : G^{3+}$ (а), $YBO_3 : G^{3+}$ (б). Вертикальными линиями показано положение максимумов в спектрах люминесценции Eu^{3+} в соответствующих боратах.

Электродипольные $d-d$ переходы ионов G^{3+} запрещены по четности. Для ионов G^{3+} , занимающих в $JnBO_3$ высокосимметричные позиции, должен, по-видимому, преобладать динамический механизм снятия запрета. Тогда температурную зависимость вероятности излучательного перехода можно представить в виде [4]

$$\frac{1}{\tau} = \frac{1}{\tau_0} \operatorname{ctg} \left(\frac{\hbar \omega}{2kT} \right), \quad (2)$$

где $\hbar \omega$ – энергия колебания, снимающего запрет на переход. Апроксимация полученной нами в [2] экспериментальной зависимости $\tau = \tau(T)$ формулой (2) дает величину, равную 261 см^{-1} . Выражение (2) хорошо описывает экспериментальные результаты вплоть до 320 К. При более высоких температурах быстрое уменьшение τ с ростом T связано с многофонной безызлучательной релаксацией. В отличие от $JnBO_3 : G^{3+}$ температурное тушение люминесценции $YBO_3 : G^{3+}$ начинается при $T < 80$ К, что в модели конфигурационных координат можно объяснить меньшим значением энергии активации безызлучательного перехода $^4T_2 \rightsquigarrow ^4A_2$ по сравнению с ортоборатом индия.

Из представленных на рис. 1 спектров возбуждения люминесценции и диффузного отражения $MBO_3 : Eu^{3+}$ ($M = Y, Jn$) видно, что они в различной степени перекрываются со спектрами люминесценции европия, что в свою очередь позволяет ожидать существенного различия в эффективности передачи энергии по следующим схемам:



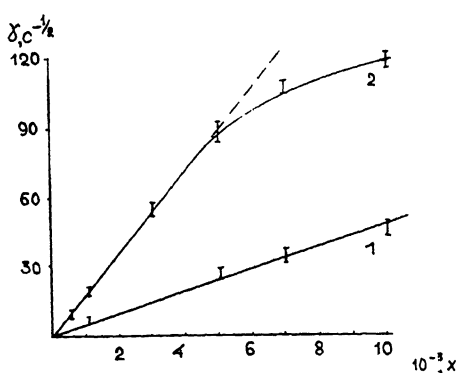


Рис. 2. Зависимость макропараметра тушения люминесценции твердых растворов $J_{n_{0.98-x}Eu_{0.02}G_xBO_3}$ (1) и $Y_{0.98-x}Eu_{0.02}G_xBO_3$ (2) от содержания хрома.

Для количественной оценки эффективности взаимодействия, приводящего к передаче энергии, нами изучена кинетика дезактивации основного излучательного состояния $Eu^{3+}(5D_0)$ при возбуждении люминесценции второй гармоникой лазера на алюмоиттриевом гранате с неодимом ($\lambda_{\text{возб}} = 532 \text{ нм}$). Методика анализа осцилограмм затухания была аналогична описанной в [5, 6]. На кривых затухания можно выделить несколько временных участков. Первоначальный экспоненциальный участок определяется взаимодействием ионов европия и хрома на минимально возможном расстоянии R_0 . Для твердых растворов состава $M_{0.98-x}Eu_{0.02}Cr_xBO_3$ он достаточно четко выражен уже при $x \sim 5 \cdot 10^{-3}$, что свидетельствует о сравнительно большом числе парных скоплений при таких содержаниях активатора и соактиватора. Вторая стадия процесса соответствует статическому неупорядоченному тушению, отображающему кинетику затухания люминесценции ионов европия, для которых ионы хрома находятся на расстояниях, превышающих R_0 . Кинетика люминесценции на этой стадии описывается известными выражениями (см., например, [5]):

$$J_t = J_0 \exp(-\gamma t^{3/5}), \quad (3)$$

$$\gamma = 4/3 \cdot \pi \cdot N_A \Gamma(1 - 3/5) \cdot C d \alpha^{3/5}. \quad (4)$$

В этих формулах J_t – интенсивность люминесценции в момент времени t , γ – макропараметр тушения, характеризующий скорость передачи энергии, $C d \alpha$ – микропараметр элементарного тушащего взаимодействия, зависящий от сил осцилляторов соответствующих переходов и интеграла перекрытия спектра люминесценции донора со спектром поглощения акцептора, N_A – концентрация ионов акцептора (Gr^{3+}), Γ – гамма функция, \mathcal{S} – мультипольность взаимодействия. Установлено, что взаимодействие $Eu^{3+} \rightarrow Gr^{3+}$

в обоих случаях является преимущественно диполь-дипольным ($S = 6$), тогда как величины γ и Cda существенно отличаются. На рис. 2 представлены зависимости γ от содержания хрома в ортоборатах иттрия и индия. Для $InBO_3 : Eu^{3+}, G^{3+}$ эта зависимость оказалась линейной, тогда как в случае ортобората иттрия при $x > 5 \cdot 10^{-3}$ наблюдается отклонение от линейности, что предположительно связано с образованием побочной фазы YB_2O_3 . Полученные из эксперимента значения позволяют из формулы (4) найти величину Cda . Она оказалась равной $13 \pm 2 \cdot 10^2 \text{ A}^6/\text{мкс}$ для $InBO_3 : Eu^{3+}, G^{3+}$, что близко к величинам, характерным для переноса энергии между ионами лантаноидов [7] со слабым перекрыванием спектров поглощения и люминесценции. Величина Cda для $YB_2O_3 : Eu^{3+}, G^{3+}$, определенная на начальном линейном участке зависимости $\gamma = \gamma(x)$, является существенно большей — $230 \pm 40 \cdot 10^2 \text{ A}^6/\text{мкс}$, что с учетом малого R_o (3.7–3.8 Å) обуславливает высокую эффективность передачи энергии $Eu^{3+} \rightarrow G^{3+}$. Таким образом, резкое снижение энергетического выхода катодолюминесценции $YB_2O_3 : Eu^{3+}$ при введении хрома связано с эффективной передачей энергии к соактиватору с последующей диссипацией энергии в канале безызлучательного перехода $4T_2 \sim 4A_2$ в ионе хрома. Вероятность передачи энергии $Eu^{3+} \rightarrow G^{3+}$ в ортоборате индия меньше и тушение катодолюминесценции проявляется при сравнительно больших концентрациях соактиватора. Причины повышения энергетического выхода катодолюминесценции $InBO_3 : Eu^{3+}$ при введении хрома в количестве 10^{-5} – 10^{-4} мол. дол. не вполне поняты, так как перекрытие полос излучения хрома и поглощения иона-активатора не имеет места. Однако по аналогии с [8], где отмечено усиление катодолюминесценции $Y_2O_2S : Eu^{3+}$ в присутствии малых количеств Tb^{3+}, Pr^{3+} , можно предположить, что введение соактиватора сопровождается подавлением процесса тушения люминесценции, который связывается с эффектом Оже.

В заключение заметим, что испытание материалов на основе $InBO_3 : Eu^{3+}, G^{3+}$ в макетах ЭЛТ показало перспективность использования такой двукратноактивированной системы для создания различных приборов отображения информации и, в частности, дисплеев.

Список литературы

- [1] Lai S.T., Choi B.H., Morris R. // IEEE Quantum. Electron. 1986. V. OE-22. N 10. P. 1931-1933.
- [2] Доценко В.П., Ефрушина Н.П., Назаренко Н.А. // Опт. и спектр. 1990. Т. 69. № 5. С. 1050-1059.
- [3] Streck W., Deren P., Jezewska-Trzebiatowska B. // Mater. Sci. 1986. V. 12. N 1-2. P. 69-74.

- [4] Перлин Ю.Е., Чукерблат Б.С. // Эффекты электронно-колебательного взаимодействия в оптических спектрах примесных парамагнитных ионов. Кишинев: Штиинца, 1974. 368 с.
- [5] Аванесов Б.Г., Басиев Т.Т., Воронько Ю.К., Максимова Г.В., Денкер Б.И., Мызина В.А., Осико В.В., Федоров В.С. // ЖЭТФ. 1983. Т. 84. № 3. С. 1028-1042.
- [6] Доценко В.П., Бerezовская И.В., Ефрушина Н.П., Ермакова С.В., Жихарева Е.А. // Изв. АН СССР. сер. физ. 1986. Т. 50. № 3. С. 596-598.
- [7] Алексеев Н.Е., Гапонцев В.П., Жаботинский Н.Е., Кравченко В.Б., Рудкицкий Ю.П. // Лазерные фосфатные стекла. М.: Наука, 1980. 352 с.
- [8] Yamamoto H., Kaneko T. // J. Electrochem. Soc. 1978. V. 126. N 2. P. 305-312.

Физико-химический институт
АН УССР, Одесса

Поступило в Редакцию
4 января 1991 г.

Письма в ЖТФ, том 17, вып. 8

26 апреля 1991 г.

07; 08

© 1991

УПРУГООПТИЧЕСКИЕ ПОСТОЯННЫЕ СИЛИКОСИЛЛЕНИТА

П.И. Ропот

Кристаллы силикосилленита $Bi_{12}SiO_{20}$ (BSO) являются весьма перспективным материалом для акустооптики и голограмии [1]. При разработке конкретных устройств и их оптимизации необходимо знать не только фотоупругие свойства кристаллов, но и спектральные зависимости. Для измерения упругооптических коэффициентов используются различные методики [2], однако они малопригодны для кристаллов BSO, обладающих оптической гиротропией (вращением плоскости поляризации). В работе [3] измерены фотоупругие постоянные кристалла германата висмута; при этом авторы использовали малые длины акустооптического (АО) взаимодействия и пренебрегали зависимостью эффективности дифракции от оптической активности. В [4] исследовались фотоупругие свойства кристаллов BSO при действии как статических, так и динамических напряжений с учетом оптической активности: при этом со-поставление данных позволило определить величину и знак фотоупругих постоянных.